

**НЕПОЛНОЕ СВЯЗЫВАНИЕ РЕАГЕНТОВ ПСЕВДОФАЗОЙ.  
ИЗБИРАТЕЛЬНОЕ СВЯЗЫВАНИЕ И  
ДИФФЕРЕНЦИРУЮЩЕЕ ДЕЙСТВИЕ ОРГАНИЗОВАННЫХ  
РАСТВОРОВ**

**§ 33. Растворы коллоидных ПАВ при концентрации ниже ККМ гомомицелл**

Вначале рассмотрим системы «краситель + ПАВ», в которых концентрация коллоидных ПАВ не всегда достигает ККМ. При исследовании таких систем с использованием спектров поглощения или флуоресценции концентрация красителей обычно поддерживается постоянной и достаточно низкой (порядка  $10^{-5}$ - $10^{-6}$  М), а концентрация ПАВ варьируется от таких же значений до ККМ и выше. Несмотря на исключительное разнообразие подобных систем и большое число соответствующих публикаций (которые здесь невозможно охватить полностью), их объединяет нечто общее, а именно: ступенчатый характер взаимодействий. Рассмотрим некоторые наиболее типичные случаи.

Достаточно подробно изучено взаимодействие красителей с неионными ПАВ [145,320,571-581]. Исследовано связывание мицеллами ПАВ анионов бромфенолового синего [320,571], эритрозина [145,572], азо-красителей [573,578,580], антрахинонов и других красителей [574,575,577], в том числе катионных [579], определены значения ККМ неионных ПАВ при помощи красителей [572,576,581]. При этом в ряде случаев удается идентифицировать комплексные субмицеллярные частицы, содержащие ионы или молекулы красителей и молекулы ПАВ. Многие авторы трактуют подобные образования как смешанные мицеллы. Естественно, в таком случае значения ККМ ПАВ, определенные по изменению спектра поглощения либо флуоресценции индикатора, могут быть заниженными по сравнению со значениями, определенными другими методами.

Особенно явно проявляется ступенчатый характер взаимодействий в случае, когда ионный краситель взаимодействует с противоположно заряженным ионом ПАВ. Причем это имеет место при взаимодействии как катионных красителей с анион-

ным ПАВ [582-591], так и анионных красителей с катионными ПАВ [592-598]. Большинство этих систем изучено спектрофотометрически; в некоторых случаях авторы оценивали константы связывания ионов красителей мицеллами ПАВ [582,584], но практически всегда исследование, начинавшееся с концентраций ПАВ, много меньших ККМ гомомицелл, указывало на образование электронейтральных ионных ассоциатов (малорастворимых солей), затем – смешанных мицелл, в которых ионов ПАВ лишь немногим больше, чем красителя, и лишь по достижении заметных избытков ПАВ возникали мицеллы данного коллоидного электролита, содержащего изолированные ионы красителя. Имеются данные о поведении родамина 6Ж и пинацианола в растворах ДСН [583,585], амфи菲尔ных гемицианинов [587], стириловых пиридиниевых красителей [588] и других гетероциклических красителей и люминофоров [584,586,589,590] в растворах того же ПАВ, а также родамина 6Ж в растворах поливинилсульфата [591]. В последнем случае спектральные эффекты рассматриваются как проявление так называемой метахромазии, сводящейся обычно к усилению димеризации красителей в присутствии полиэлектролитов и в особенности биомолекул [599,600]. Взаимодействия подобного типа, которые могут быть вызваны отчасти и «послойной укладкой» хромофорных систем красителей, нами здесь не рассматриваются.

Спектрофотометрические, тензиметрические и кондуктометрические исследования Э. Колихмена позволили доказать образование непроводящих электрический ток ассоциатов анионов  $\text{HR}^-$  и  $\text{R}^{2-}$  с поверхностно-активными длинноцепочечными катионами в водном растворе [592]. Г. Зуроен [593] получил сходные результаты, хотя и интерпретировал их несколько иначе. Но во всех случаях отмечается, что значения ККМ катионных ПАВ, определенные при помощи анионных индикаторных красителей, будут существенно заниженными. Интересный цикл работ был проведен Р. Ривсом с сотрудниками [594,595]. Образование смешанных мицелл с катионными ПАВ (обычно – с малыми числами агрегации) может сопровождаться сдвигом положения азо-хингидразонного тautомерного равновесия в области концентраций ПАВ, заметно меньших ККМ гомомицелл. Образование смешанных мицелл краситель + катионный ПАВ (или, по другой терминологии, предмицеллярных агрегатов) наблюда-

лось для эриохромовых красителей [596], анионных порфиринов [597] и кумасси бриллиантового голубого Ж [598].

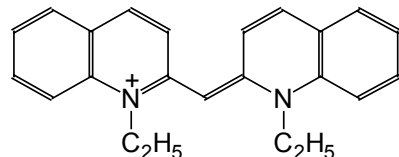
Еще П. Макерджи и К. Майзел [601], проанализировав имевшуюся на тот момент литературу и проведя собственные всесторонние исследования, показали на примере катионного красителя пинацианола в растворах анионного ПАВ, а также анионов  $HR^-$  и  $R^2-$  бромфенолового синего в растворах катионного ПАВ, что в таких системах образуются вначале (при малых концентрациях ПАВ) комплексные соли красителя с ионами ПАВ. Поэтому абсолютные значения ККМ ПАВ, оцениваемые индикаторным методом [145,602], могут быть смещены. Следовательно, предпочтительны методы определения ККМ при помощи нейтральных индикаторов, например, люминофоров типа пирена, применимые для исследования мицеллообразования катионных, анионных и неионных ПАВ [603].

Возможность титрования растворов анионных ПАВ растворами катионных ПАВ, проводимого в присутствии красителей в двухфазных системах [604], также основывается на образовании ассоциатов разноименно заряженных ионов ПАВ и красителей. Что касается такого рода ассоциации в водных растворах, то движущей силой является здесь является гидрофобное взаимодействие, усиленное электростатическим притяжением. В связи с этим здесь можно упомянуть и взаимодействие разноименно заряженных ионов красителей в водных растворах [605], причем соответствующие ассоциаты распадаются вследствие «отвлекающего» действия ионных ПАВ [606].

В литературе накопилось множество работ, посвященных сравнительному исследованию поведения кислотно-основных индикаторов, сольватохромных красителей и люминофоров в растворах ПАВ различных типов, как в домицеллярной области, так и при  $c_{ПАВ} > KKM$  [607-612]. При этом важно учесть, что часто связывание мицеллами ПАВ может сильно изменять спектр флуоресценции, мало изменяя спектр поглощения, как это имеет место, например, в случае 7-этоксикумарина [610]. Иногда принципиальное различие во влиянии одноименно и разноименно заряженных ионов ПАВ на ион красителя проявляется особенно отчетливо; так, димеры некоторых тиакарбоцианиновых красителей разрушаются в присутствии ПАВ при  $c_{ПАВ} > KKM$ , но в случае противоположно заряженных ионов ПАВ ди-

меры превращаются в Н- и J-агрегаты уже при  $c_{\text{ПАВ}} << \text{ККМ}$ , и лишь вблизи ККМ происходит окончательное превращение красителей в димеры [611].<sup>1)</sup>

Нами было обнаружено, что анионные ПАВ различного строения оказывают совершенно различное влияние на состояние катионного красителя псевдоизоцианина [613]:



Уже при концентрации красителя порядка  $10^{-5} \text{ M}$  в разбавленных растворах оксиэтилированного алкилсульфата образуются стабильные во времени флуоресцирующие J-агрегаты красителя (которые в водных растворах при комнатной температуре возникают, как известно, лишь при концентрациях порядка  $10^{-2} \text{ M}$ ), а алкилбензолсульфонаты индуцируют образование Н-агрегатов красителей. По мере приближения  $c_{\text{ПАВ}}$  к ККМ во всех случаях наблюдается лишь спектр мономеров красителя, адсорбированных поверхностью мицелл [613]. Есть сообщение об образовании J-агрегатов порфиринов в предмицелярных растворах ДСН [614].

В связи с проблемой равновесия между двумя возможными состояниями связанных соединений – адсорбированным на поверхности мицелл и абсорбированным ядром [423,424,444] – представляют интерес исследования кинетики проникновения красителей в мицеллы и кинетики перехода с поверхности во внутрь мицелл [612].

За последние полвека накопилось особенно много интересных данных о влиянии ПАВ на состояние метилоранжа [607,615-625] и гидроксиксантеновых красителей [145,350,426,572,593, 602,626-641].

Спектр поглощения аниона метилоранжа при взаимодействии с традиционными катионными ПАВ [607,615,616,618,619,621, 622] претерпевает существенный гипсохромный сдвиг. При этом особенно сильный сдвиг наблюдается при  $c_{\text{ПАВ}} << \text{ККМ}$ ; по достижении ККМ спектр скорее напоминает полосу поглощения метилоранжа в неводных растворителях. Вначале предполагалось образование лишь ассоциатов 1:1, в частности, с катионами

$\text{\textit{n}}\text{-C}_{18}\text{H}_{37}\text{N}(\text{CH}_3)_3^+$  [615], затем было показано [619], что при эквимолярных соотношениях ПАВ – краситель образуются суспензии, при небольшом избытке ПАВ – Н-агрегаты красителя, индуцированные длинноцепочечными катионами, при еще больших концентрациях ПАВ – смешанные мицеллы, и далее – гомомицеллы ПАВ с адсорбированными анионами красителя. Сходный характер носят изменения спектров метилоранжа при взаимодействии с дикатионными ПАВ [625] и полизлектролитами [617]. В этой связи представляют интерес как данные о сольватохромии метилоранжа [618,642], так и сведения о диссоциации соли, образованной анионом метилоранжа и поверхностноактивным катионом, полученные кондуктометрическим методом в водно-органических смесях [643]. Гомологи метилоранжа (этилоранж,  $\text{\textit{n}}$ -бутилоранж) также взаимодействуют с катионными ПАВ [618,624].

Показана возможность аналитического определения катионного ПАВ путем связывания ионного ассоциата метилоранжа с поверхностно-активным катионом мицеллами неионного ПАВ бридж 35 [620], аналогично связыванию мицеллами тритонов X 100 и X 305 ассоциатов двухзарядного аниона бромфенолового синего с четвертичными аммониевыми катионами [556]. Исследовано распределение метилоранжа в водной двухфазной системе, образующейся при взаимодействии бромида додецилтриэтиламмония с ДСН [623], а также поведение этого индикатора в гелях  $\text{SiO}_2$ , допированных катионным ПАВ [155], и в пленках Лэнгмюра – Блоджетт [154].

Спектры поглощения и флуоресценции дианионов  $\text{R}^{2-}$  флуоресцеина и эозина при добавлении катионных ПАВ исследовались многократно [593,602,626-628,630,631,635,637-639,641]. Малые концентрации катионных ПАВ тушат флуоресценцию дианионов этих и других гидроксиксантенов, но по достижении ККМ она, наоборот, возгорается [628,630-632,637-641]. С неионными и анионными ПАВ взаимодействие выражено слабее, хотя по причине своей гидрофобности даже дианионы  $\text{R}^{2-}$  бенгальского розового Б и эритрозина связываются мицеллами ДСН [281,629,636]. Считается, что анионы гидроксиксантенов при первых добавках катионных ПАВ также образуют электронейтральные малорастворимые ионные ассоциаты, а при несколько больших концентрациях ПАВ – смешанные мицеллы ПАВ-

краситель. Достаточно типичная картина изменения спектров представлена на рис. 25.

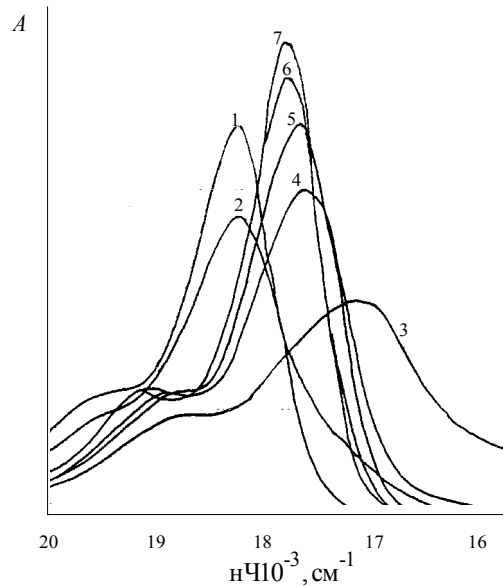
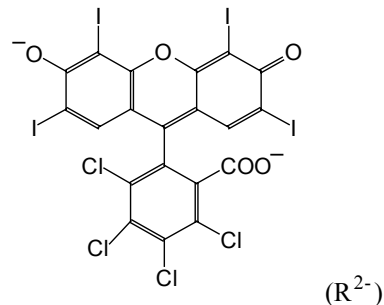


Рис. 25. Спектры поглощения бенгальского розового Б ( $2 \times 10^{-6}$  М, длина кюветы 5 см) в водных растворах ЦПХ: 1 – 0; 2 –  $1 \times 10^{-5}$ ; 3 –  $2 \times 10^{-5}$ ; 4 –  $6 \times 10^{-5}$ ; 5 –  $1 \times 10^{-4}$ ; 6 –  $2 \times 10^{-4}$ ; 7 –  $2 \times 10^{-3}$  М ЦПХ; pH 6.9, 0.01% поливинилового спирта [439].

Спектры дианиона  $R^{2-}$  красителя бенгальского розового Б в области концентраций ЦПХ ниже ККМ (в чистой воде при 298 К значение ККМ составляет 0.001 М) изменяются очень сильно [439].



Картина очень напоминает имеющиеся в литературе данные [637],<sup>2)</sup> аналогичные результаты получены нами и для эритрозина. При концентрации ЦПХ ниже ККМ образуются практически нерастворимые в воде ассоциаты анионов красителя с катионами ПАВ и смешанные мицеллы краситель – ПАВ. Хотя во избежание выпадения осадков в систему вводился поливиниловый спирт (0.01 %), несколько стабилизирующий образующиеся дисперсии (вероятно, суспензии), надежные значения констант связывания определить не удается, вопреки данным некоторых авторов [426]. По достижении ККМ ЦПХ образуются мицеллы ПАВ, содержащие связанные (вероятно, в области Штерна) ионы красителя – не более чем один ион на одну мицеллу; такие системы (кривая 7) уже достаточно стабильны.

Спектры наподобие кривой 3 трактуют иногда как спектры J-агрегатов – например, для эозина при малых концентрациях ЦПХ [631]. Более типичные спектры таких агрегатов зарегистрированы в случае бенгальского розового Б с цвиттерионным ПАВ [640].

В мицеллярных растворах ЦПХ локализация иона  $R^{2-}$  в углеводородном ядре мицелл катионного ПАВ в виде ионного ассоциата с двумя катионами, например,  $R^{2-}(\text{ЦП}^+)_2$  [639], представляется маловероятной [281]; спектры флуоресценции и возбуждения флуоресценции подтверждают, что вытеснения диамиона с поверхности мицелл ЦТАБ в присутствии 2 М КВг не наблюдается [644].

Спектральные и фотофизические свойства гидроксиксантеновых дианионов используют для определения ККМ [626] и чисел агрегации [634]. Наряду с хорошо известными экстракционными методами определения катионных ПАВ и четвертичных аммониевых соединений возможно также использование безэкстракционного метода, основанного на образовании ионных ассоциатов с гидроксиксантеновыми красителями и сдвиге равновесия диссоциации ионов  $HR^-$  [633].

Поскольку из вышеизложенного ясно, что для разноименно заряженных ионов ПАВ и красителей образование смешанных мицелл наблюдается практически во всех случаях, представляется полезным предложить следующую трактовку обсуждаемых здесь систем. Рассмотрим ион красителя как крупный гидрофобный противоион. Пусть, например, речь идет о катионном ПАВ.

Тогда можно записать выражение (72), подобное тому, которое использовано при выводе уравнений (49), (60) [269,386]:

$$\lg KKM = \text{const} - \lg \{[Br_w^-]^{b_{Br^-}} + S_{R^-}[R_w^-]^{b_{R^-}}\} \quad (72)$$

Здесь ион  $Br^-$  вносится в систему вместе с поверхностноактивным катионом (например, в виде ЦТАБ), а  $R^-$  – крупный органический гидрофобный противоион (анионный краситель). Имеется ряд сравнительных оценок свободной энергии гидратации ионов  $Br^-$ ,  $Cl^-$ ,  $NO_3^-$  с одной стороны, и анионов красителей – с другой, а также констант ионного обмена этих ионов на ионы красителей [330,480,645]; последние параметры близки к параметрам  $S_i$ . С другой стороны, имеются корреляции между свободной энергией гидратации противоиона и значением  $\lg KKM$  [646]. Таким образом, образование смешанных мицелл ПАВ – краситель при сплав << КМ гомомицелл ПАВ можно рассматривать как мицеллообразование катионного ПАВ с гидрофобным противоионом с исключительно высоким значением  $S_i$ . При нарастающей концентрации ПАВ и постоянной концентрации красителя доля последнего в конечном счете настолько снижается, что образуются гомомицеллы ПАВ, лишь немногие из которых содержат ион  $R^-$ .

Константы обмена ионов  $Cl^-$  или  $Br^-$  на ароматические анионы на поверхности мицелл катионного ПАВ могут быть определены непосредственно по спектрам поглощения [647]. Вероятно, значения  $S_{R^-}$  должны быть еще выше, чем  $S_i$  для салицилат-, бензоат- или тозилат-ионов, а образующиеся смешанные мицеллы, по крайней мере при эквимолярных соотношениях ПАВ и красителя, ближе ко второму типу дисперсий, рассмотренных в §29.

В заключение этого раздела отметим работы, в которых сравнивалось влияние ПАВ и циклодекстринов на спектры красителей [648], а также исследовалось взаимодействие краситель – ПАВ в присутствии мочевины, тиомочевины [649] и сахаров [650,651]. В последнем случае явно прослеживается конкуренция за анионы эозина, бенгальского розового Б и фенолфталеина между катионами ПАВ и молекулами-рецепторами.

### § 34. Распределение молекул и ионов между мицеллами ПАВ и водной фазой

На практике чаще определяют не константы распределения,  $P_i$ , а «константы связывания»,  $K_{b,i}$ , которые действительно являются постоянными при  $[i_m]_t \ll c_{\text{ПАВ}} - \text{ККМ}$ :

$$K_{b,i} = \frac{[i_m]_t}{[i_w]_t} \times \frac{1}{c_{\text{ПАВ}} - \text{ККМ}} \quad (73)$$

Удобство применения этих величин заключается том, что для вычислений не нужно располагать значениями параметров мицелл; фактически,  $K_{b,i}$  есть константа квазихимической реакции: субстрат + мономер ПАВ, находящийся в мицелле  $\rightleftharpoons$  связанный субстрат. Константа связывания  $i$ -й молекулы или иона мицеллами ПАВ связана со значением  $P_i$  соотношением:

$$P_i = K_{b,i} (c_{\text{ПАВ}} - \text{ККМ}) v_w v_m^{-1} (f_i^w)^{-1}, \quad (74)$$

где  $v_m$  и  $v_w$  – объемы мицеллярной псевдофазы и водной фазы, соответственно.<sup>3)</sup> Причем при обычной методике работы вторая величина практически совпадает с общим объемом раствора. Помимо концентрационного коэффициента активности связываемой молекулы или иона, то есть субстрата, фактически  $K_{b,i}$  и  $P_i$  различаются лишь множителем  $c_{\text{ПАВ},m}$ , равным концентрации ПАВ в мицеллах:  $P_i = K_{b,i} c_{\text{ПАВ},m} (f_i^w)^{-1}$ . Величина  $c_{\text{ПАВ},m}$  есть обратный мольный объем ПАВ в мицеллах, и значение ее составляет несколько М. Сводки значений  $K_b$  и  $P$  имеются в литературе для самых различных субстратов – от благородных газов до красителей и металло-комплексов [371,382,405,445,512, 653-661].

Значения  $K_{b,i}$  можно найти по ур. (73), оценивая соотношение общих концентраций  $[i]_t$  связанного и несвязанного мицеллами  $i$ -го компонента при помощи того или иного метода (например, спектрофотометрического [405,571,572,582]). Для расчета  $P_i$  в молярной шкале необходимо располагать значением  $c_{\text{ПАВ},m}$  или мольного объема мицеллизированного ПАВ. Значение последней величины для одного из наиболее изученных ПАВ, ДСН, составляет, по оценкам разных авторов, от 0.229 до 0.262

$M^{-1}$  [468]. Но К. Бантон, Л. Ромстед и другие авторы, использующие модель ПИО, псевдофазой считают лишь слой Штерна, и тогда нужно принять  $c_{PAB, m}^{-1}$  равным  $0.140 M^{-1}$  [382,387].

С другой стороны, удобно использование констант распределения, выраженных в шкале мольных долей:  $P_{i,x} = K_{b,i} 55.5 (f_i^w)^{-1}$ . Согласованность результатов, полученных различными авторами при использовании как одних и тех же, так и различных методов (несколько разновидностей хроматографии, УФ-спектроскопия, исследования диффузии), проиллюстрируем, сравнивая значения  $-\Delta G_x = RT \ln P_{i,x}$ , характеризующие распределение бензола между водой и мицеллами ДСН. Пятнадцать значений  $-\Delta G_x$  попадают в интервал от 17.0 до 18.8 кДж моль $^{-1}$  [368,445,512,656,657], причем наиболее надежными могут считаться значения от 17.3 до 17.85 кДж моль $^{-1}$  [656,657].

В свое время было установлено, что бензол лучше связывается мицеллами катионного ПАВ, чем анионного [368,445]. Однако мицеллы ДСН сравнивали, как правило, с мицеллами ЦТАБ; сопоставление же данных для мицеллярных растворов ДСН и бромида додецилтриметиламмония привело к примерно одинаковым значениям  $-\Delta G_x$  [656]. Вероятно, данные о распределении фенола, полученные для ЦТАБ, также не следует распространять на любые катионные ПАВ. В то же время, можно утверждать, что бутанол-1, пентанол-1 и другие спирты лучше связываются мицеллами ДСН, чем катионного ПАВ [445,656] – вероятно, из-за образования водородной связи между группами  $O-SO_3^-$  и  $HO$ .

Уже давно делались попытки установить связь между параметрами распределения в системе вода – мицеллы ПАВ и строением субстратов [368,382,444,445]. В частности, исследовалось взаимодействие неионных азокрасителей с ионами и мицеллами ДСН и находилась корреляция с параметрами липофильности [654];<sup>4)</sup> определены параметры связывания мицеллами ДСН серии замещенных фенолов [655]. Для мицелл как ДСН, так и других ПАВ теперь имеются большие массивы значений  $K_b$  либо  $P$  различных нейтральных субстратов [445,656, 658,659,661]. Константы связывания барбитуратов мицеллами ДСН и холата натрия определены недавно методом мицеллярной

жидкостной хроматографии [660]. Вообще, в последние два десятилетия хроматографические методы широко использовались для определения констант распределения в мицеллярных системах [662,663]. Константы связывания могут быть оценены и по кинетическим данным [369,399].

Особенности связывания различных органических кислот мицеллами ПАВ находят свое выражение в значениях  $P_i$ , что, в свою очередь, может служить причиной дифференцирования силы этих кислот в связанном состоянии, с учетом ур. (46).

При распределении ионов между водой и мицеллами ионных ПАВ играет роль, наряду с их гидрофобностью, еще и знак их заряда, в соответствии с ур. (44).

С учетом сказанного в §33, для оценки констант связывания ионов с использованием электронных спектров обычно удобнее либо неионные ПАВ, либо ПАВ, поверхности мицелл которых заряжены одноименно с исследуемыми ионами. Это тем более оправдано, что ионы, заряженные разноименно с поверхностью мицелл, при достаточно высокой концентрации ПАВ и достаточно низкой ионной силе объемной фазы чаще всего связываются достаточно полно.

В то же время, даже мицеллами анионного ПАВ может связываться анионный краситель, если он достаточно гидрофобен. Таким является, в частности, дианион  $R^2-$  бенгальского розового Б [281,629,636], для которого значение  $K_b$ , найденное в растворах ДСН (298 К,  $I = 0.05$  М) при помощи спектрофотометрического метода, составило  $(4.2 \pm 0.3) \times 10^2$  М<sup>-1</sup> [203], а значение ККМ =  $(2.0 \pm 0.8) \times 10^{-3}$  М, рассчитанное совокупно с константой связывания, согласуется с литературными данными. Это значение  $K_b$ , не противоречащее имеющейся в литературе оценке  $K_b \geq 10^2$  М<sup>-1</sup> [426], получено при  $c_{\text{ПАВ}} = 0.001\text{-}0.02$  М; при более высоких концентрациях ДСН значение  $K_b$  получается более высоким. При связывании мицеллами неионных ПАВ значение  $K_b$  на два порядка выше, чем в случае мицелл ДСН. Как в случае анионного, так и в случае неионного ПАВ таких сильных изменений спектров, как на рис. 25, не наблюдается; дело сводится лишь к батохромному сдвигу на несколько нанометров [203,281].

Значения  $K_b$  моноанионной формы бромтимолового синего, представленные в табл. 12, также найдены при помощи спектрофотометрического метода.

Спектры флуоресценции красителей гораздо чувствительнее к связыванию псевдофазой, чем спектры поглощения [405,628,632]; в частности, для ксантеновых красителей это иллюстрирует рис. 26. На этом же рисунке представлена зависимость времени жизни флуоресценции диамина эозина,  $\tau$ , от концентрации неионного ПАВ нонилфенола 12; эти данные, полученные автором совместно с Л.Л. Лукацкой, М.И. Рубцовым и А.О. Дорошенко, демонстрируют возможность использования величин  $\tau$  для оценки полноты связывания люминофоров мицеллами. Такой подход реализован нами также для родамина Б [469]. Ранее [164] для другого родаминового красителя в лиофобной дисперсной системе отмечен случай, когда затухание флуоресценции во времени описывается суммой двух экспонент:

$$I(t) = A_1 e^{-t/\tau_1} + A_2 e^{-t/\tau_2} \quad (75)$$

Здесь  $\tau_1$  и  $\tau_2$  соответствуют временам жизни флуоресценции в свободном и связанном состояниях. В литературе имеются также примеры использования спектров флуоресценции для оценки констант связывания гидроксиксантеновых люминофоров повышенной гидрофобности мицеллами ПАВ [351].<sup>5)</sup>

Имеется множество работ, посвященных оценкам констант связывания как красителей, так и органических ионов и молекул более простого строения фосфолипидными мембранами [664].

В литературе можно найти и критику самой концепции константы связывания [665]; отмечалось, что значения  $K_b$  могут зависеть от области концентраций ПАВ, использованной для вычислений [468,556]. «Константа» в ур. (73) может изменяться, когда объем водной фазы и общий объем раствора различаются ощутимо. Но опыты, проведенные в нашей лаборатории, показали, что «дрейф» значений  $K_b$ , вычисляемых путем обработки спектральных данных, в ряде случаев наблюдается и при гораздо меньших концентрациях ПАВ. Очевидно, одной из возможных причин является перестройка мицелл, происходящая при изменении концентрации ПАВ, и связанное с этим изменение свойств псевдофазы.

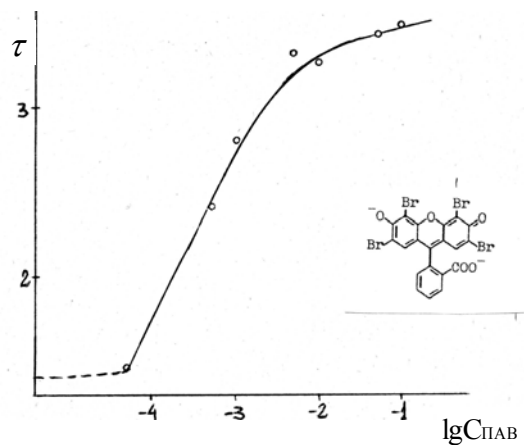
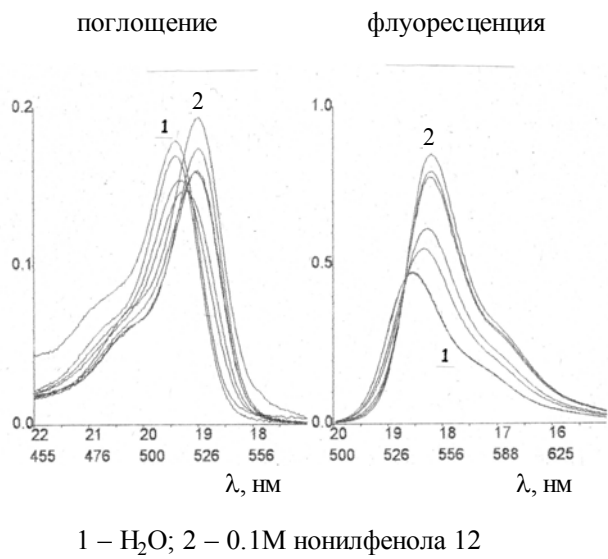


Рис. 26. Зависимость спектров поглощения, флуоресценции и времен жизни флуоресценции ( $\tau$ , нс) дианиона  $R^{2-}$  эозина от концентрации неионного ПАВ нонилфенола 12.

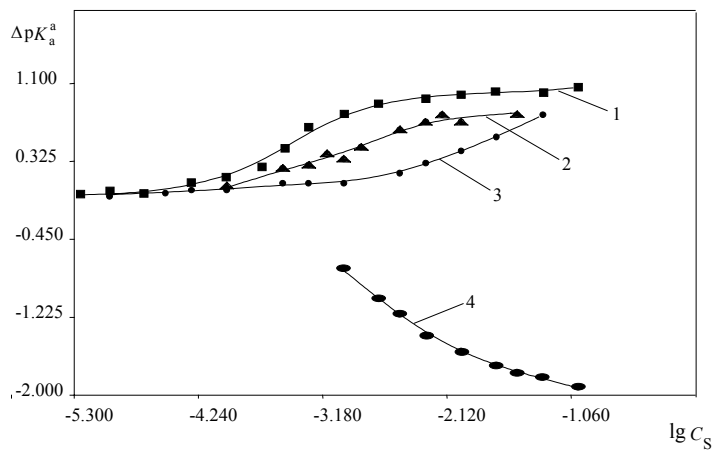


Рис. 27. Зависимости  $\Delta pK_a^a = pK_a^a - pK_a^{w*}$  от логарифма концентрации ПАВ: бромфеноловый синий (1), феноловый красный (2,3) и метиловый желтый (4) в растворах бридж 35 (1,2,4) [ $I = 0.01$  М (1,2) и  $0.05$  М (4)] и ЦТАБ [I = 0.4 М КВг (3)].

### § 35. Расчет констант связывания из зависимостей $pK_a^a$ от концентрации ПАВ

Одним из недостатков спектрофотометрического метода определения значений  $K_b$  является сравнительная узость рабочего диапазона концентраций ПАВ, пригодных для расчетов. При оценке констант связывания из зависимостей  $pK_a^a$  от сПАВ последние можно варьировать в более широких пределах. На рис. 27 представлено несколько типичных примеров из числа многих данных, полученных в нашей лаборатории Л.Л. Лукацкой, А.В. Тимий, А.С. Шумахер и Н.А. Водолазкой. Здесь на оси ординат отложены разности текущих значений  $pK_a^a$  и значения в воде (в отсутствие ПАВ) при данной ионной силе,  $pK_a^{w*}$ .

В литературе имеется множество работ, посвященных оценке параметров  $K_b$  или  $P$  с использованием зависимостей такого типа [371,368,380,385,388,396,398,404,408,556,652,666-673]. Уравнение, используемое при этом, нетрудно вывести из ур. (43) и (73):

$$pK_a^a = pK_a^{w*} + \lg \frac{1 + K_{b,HB}(C_{ПАВ} - KKM)}{1 + K_{b,B}(C_{ПАВ} - KKM)} \quad (76)$$

Естественно, что при высоких значениях  $K_b$  ур. (76) с учетом ур. (74) превращается, с точностью до коэффициентов активности в водной фазе, в ур. (46). Линеаризацией ур. (76) можно получить ур. (77):

$$\frac{1 - (10^{pK_a^{w*} - pK_a^a})}{C_{ПАВ} - KKM} = -K_{b,B} + (10^{pK_a^{w*} - pK_a^a}) K_{b,HB} \quad (77)$$

Рассмотрим вначале типичные примеры определения значений  $K_b$  в растворах неионных ПАВ. В таблице 19 собраны значения констант связывания ( $M^{-1}$ ) моно- и дианионов бромфенолового синего, найденные из зависимостей  $pK_a^a$  от концентрации различных неионных ПАВ при 298 К и постоянной ионной силе водной фазы, создаваемой ацетатными буферными растворами и NaCl. Расчеты велись при помощи ур. (77), значения  $K_{b,HR^-}$  и

$K_{b,R^{2-}}$  найдены с довольно большой погрешностью: соответственно  $\pm (5-15)\%$  и  $\pm (6-30)\%$ .

Сразу же нужно отметить, что численные значения  $K_b$  заметным образом зависят от рабочего диапазона  $c_{ПАВ}$ , что уже отмечалось в литературе; вероятно, именно поэтому данные, полученные разными авторами, могут не совпадать. Так, для ионов бромфенолового синего в растворах бридж 35 при  $I = 0.01 M$  аналогичный анализ зависимости  $pK_a^a$  от  $c_{ПАВ}$  привел к значениям  $K_b$  ионов, равным  $21 \times 10^3$  и  $2.8 \times 10^3 M^{-1}$  [670]. Значения  $K_b$  могут оказаться даже отрицательными [556], что лишено физического смысла. Аналогичная ситуация наблюдалась нами для тритона X 305: при  $c_{ПАВ}$  от  $5 \times 10^{-4} M$  до  $0.0013 M$  или до  $0.005 M$  значение  $K_{b,HR^-}$  получается равным  $\approx (1.5-1.8) \times 10^3 M^{-1}$ , а  $K_{b,R^{2-}} < 0$ . В диапазоне концентраций тритона X 305  $0.0014-0.003 M$  и  $I = 0.1 M$  в цитируемой работе [556] получены значения  $K_{b,HR^-} = 2678 M^{-1}$  и  $K_{b,R^{2-}} = 33 M^{-1}$ . При

более высоких концентрациях нонилфенола значение  $pK_a^{ac}$  найдено равным 5.07 (табл. 10). В ряде случаев значения  $pK_a^{ac}$  сульфофтальеинов, рассчитанные по ур. (78), даже несколько ниже значения  $pK_a^a$ , экспериментально зарегистрированного при максимальном значении  $c_{\text{ПАВ}}$ . Подобная ограниченность псевдофазной модели связывания обусловлена перестройками мицелл, происходящими, как хорошо известно, при варьировании  $c_{\text{ПАВ}}$ . Возможно также, что при малых концентрациях ПАВ в присутствии красителей образуются структуры, несколько отличающиеся от обычных мицелл.

Сильная зависимость значений  $P$  от концентрации дисперсной фазы особенно заметна в микроэмulsionях – например, в случае связывания анионов бромтиолового синего неионными микроэмulsionями [249]. Вообще, создается впечатление, что в микроэмulsionях, ввиду сильной зависимости дисперсности псевдофазы от ее концентрации, концепция «констант связывания» применима с еще большими оговорками, нежели в растворах ПАВ.

С другой стороны, в рамках принятой модели можно оценить значение  $pK_a^a$  в условиях полного связывания,  $pK_a^{ac}$ , располагая значениями  $K_b$ :

$$pK_a^{ac} = pK_a^a + \lg \frac{(K_{b,B})^{-1} + C_{\text{ПАВ}} - \text{ККМ}}{(K_{b,HB})^{-1} + C_{\text{ПАВ}} - \text{ККМ}} \quad (78)$$

Таблица 19  
Значения констант связывания анионов  $\text{HR}^-$  и  $\text{R}^{2-}$  бромфенолового синего мицеллами неионных ПАВ, найденные из зависимостей  $pK_a^a$  от  $c_{\text{ПАВ}}$

ПАВ	$I, \text{M}$	$c_{\text{ПАВ}}, \text{M}$	$10^{-3} K_{b,\text{HR}^-}$	$10^{-3} K_{b,\text{R}^{2-}}$	$pK_a^{ac}$
Бридж 35	0.01	$1 \times 10^{-4} - 0.01$	12	1.2	$5.10 \pm 0.03$
Тритон X 100	0.01	$5 \times 10^{-4} - 0.005$	11	1.7	$5.00 \pm 0.02$
Тритон X 305	0.01	$1.3 \times 10^{-3} - 0.005$	2.4	0.13	$4.88 \pm 0.03$
Нонилфенол 12	0.05	$2 \times 10^{-4} - 0.004$	20	2.7	$4.80 \pm 0.03$
Твин 80	0.05	$1.5 \times 10^{-4} - 0.05$	13	0.90	$5.09 \pm 0.03$

Детальное сопоставление значений  $pK_a^{ac}$  с литературными данными можно найти в диссертации [453]. Степень совпадения значений  $pK_a^{ac}$  для бромфенолового синего в мицеллах различных неионных ПАВ (табл. 19) согласуется с данными, полученными для бромтиолового синего (табл. 12,18). Естественно, трудно ожидать и точного совпадения значений  $K_b$ .

В работах В. Люка [320,571] было исследовано связывание анионов бромфенолового синего мицеллами неионных ПАВ при помощи спектрофотометрического метода. В зависимости от строения ПАВ значения  $K_b$  варьируют в пределах  $(5.8-32) \times 10^3 \text{ M}^{-1}$  для иона  $\text{HR}^-$  и  $(1.1-6.7) \times 10^3 \text{ M}^{-1}$  для иона  $\text{R}^{2-}$ . Н.А. Водолазкой были тем же методом определены значения для тритона X 305:  $5.5 \times 10^3 \text{ M}^{-1}$  и  $0.8 \times 10^3 \text{ M}^{-1}$ . Несмотря на обилие экспериментальных точек, использованных для оценок  $K_b$  как непосредственно при помощи спектрофотометрии, так и из зависимости  $pK_a^a$  от сплав, расхождения довольно значительны. Причиной может быть периферийная локализация ионов красителя, в результате чего спектры при связывании могут в определенных условиях изменяться сильнее, чем значения  $pK_a^a$ .

При помощи спектрофотометрического метода исследовано также образование ассоциатов анионов бромфенолового синего с поливинилпирролидоном [571]; поведение сульфофталеинов в присутствии водорастворимых неионных полимеров может быть интерпретировано и в терминах изменения структуры воды [282].

В таблице 20 представлены значения констант связывания сопряженных форм индикаторов различного типа, вычисленные из зависимостей  $pK_a^a$  от концентрации бриджа 35 (рис. 27); погрешности определения в целом такие же, как для бромфенолового синего в растворах различных неионных ПАВ (смотри выше).

В случае метилового желтого концентрация ПАВ варьировалась в пределах от 0.001 до 0.05 М. В этом случае вычисленная константа связывания катиона мала, в то время как спектр этой формы изменяется по сравнению со спектром в воде уже при

очень малых концентрациях бридж 35 и других неионных ПАВ. Вероятно, здесь также проявляется различная «чувствительность» двух характеристик — значений  $pK_a^a$  и спектров поглощения — к связыванию мицеллами.

**Т а б л и ц а 20**  
**Значения констант связывания,  $M^{-1}$ , в мицеллярных растворах  
 бридж 35 (найдены из зависимости констант диссоциации от  
 концентрации ПАВ)**

Соединение	$I, M$	$K_{HB}$	$K_B$	$pK_a^{ac}$
Метиловый желтый, $HR^+ \rightleftharpoons R + H^+$	0.05	65	$5.8 \times 10^3$	$1.12 \pm 0.06$
Родамин Б, $HR^+ \rightleftharpoons R + H^+$	0.05	$4.0 \times 10^3$	$5.9 \times 10^2$	$4.08 \pm 0.04$
Феноловый красный, $HR^- \rightleftharpoons R^{2-} + H^+$	0.01	285	32	$8.73 \pm 0.03$
Бромфеноловый синий, $HR^- \rightleftharpoons R^{2-} + H^+$	0.01	$1.2 \times 10^4$	$1.3 \times 10^3$	$5.10 \pm 0.03$

С другой стороны, перестройки мицелл неионных ПАВ заметно меньше сказываются на значениях  $pK_a^a$  очень гидрофобных, заведомо связанных мицеллами красителей — бетаина Райхардта и децилфлуоресцеина [419].

Наконец, требует пояснения тот факт, что значения экстрапермодинамических величин  $K_{b,i}$ , а, следовательно, и родственных им величин  $P_i$  и  $\gamma_i$  удается определить экспериментально для отдельных ионов. Вероятно, внепермодинамическим допущением, неизбежным в подобных случаях, и является принятие концепции псевдофазы.

В литературе имеется достаточно примеров оценок констант связывания кислотно-основных реагентов мицеллами ионных ПАВ. Например, зависимость  $pK_a^a$  *n*-нитроанилида бис(хлорметил)fosфиновой кислоты ( $HR \rightleftharpoons R^- + H^+$ ) от  $c_{\text{ПАВ}}$  позволила оценить значения  $K_b$  обеих сопряженных форм в водных растворах ЦТАБ и ДСН, причем связывание аниона  $R^-$  мицеллами анионного ПАВ крайне незначительно [396]. Потенциомет-

рическое титрование других фосфорсодержащих кислот в растворах ПАВ также привело к гораздо более высоким значениям  $K_b$  анионов в растворах ЦТАБ, чем в растворах ДСН, а зависимость значений  $pK_a^a$  от концентраций субстратов обусловлена их соизмеримостью с  $c_{\text{ПАВ}}$  [388].

Вообще, избирательное связывание – сильное связывание одних ионных (молекулярных) форм и почти полное несвязывание других – встречается чаще всего именно в случае ионных ПАВ [396,666,668-670]. Это наблюдается, в частности, при кислотной диссоциации фенолов в растворах ДСН [668] и анилиновых катионов – в растворах катионного ПАВ [669]. Очевидно, что такое избирательное связывание является одним из факторов дифференцирования силы кислот с различными типами заряда в мицеллярных растворах ионных ПАВ.

В некоторых случаях допущение о том, что каплями микрэмульсий, стабилизованных неионным ПАВ, связываются лишь нейтральные формы [652], не оправдывается. Так, приводится оценка значения  $P$  для желтой формы бромфенолового синего [652], но при этом не учитывается, что эта форма – тоже анионная ( $\text{HR}^-$ ).

Необходимо отметить, что константы связывания сопряженных форм (НВ, В) являются важнейшими параметрами в модели ПИО [382,384,387,400,405]. При этом обычно их значения предварительно определяются спектрофотометрически.

Во всех случаях согласованность значений  $K_b$ , полученных различными методами, подтверждает адекватность выбранной модели равновесий. Любопытен следующий пример. В мицеллярных растворах ДСН значение  $pK_a^a$  протонированной формы 3,3-диметил-2-фенил-3Н-индола было найдено равным 4.75 при  $c_{\text{ПАВ}} = \text{ККМ} = 0.052 \text{ М}$  [404]. С другой стороны, константы связывания сопряженных форм были определены в той же работе спектрофотометрически:  $K_{b,\text{HR}^+} = 12.9 \times 10^3$ ,  $K_{b,\text{R}} = 1.01 \times 10^3 \text{ (M}^{-1})$  [404], но авторы [404] не пытаются использовать эти значения для расчетной оценки  $pK_a^a$ . Так как  $pK_a^{w*} = 3.25$ , по ур. (76) нетрудно рассчитать, что  $pK_a^a = 4.35$ ; такое значение на 0.4 единицы отличается от экспериментального. Но если учесть, что

значение  $pK_a^a$  определено при  $I \approx 0.008$  М, а  $K_{b,HR^+}$  — при  $I = 0.11$  М [404], то константу связывания катиона при  $I = 0.008$  можно оценить, используя ур. (44) и зависимость  $\Psi$  от ионной силы раствора (смотри раздел 6.3):  $K_{b,HR^+} \approx 6 \times 10^4$ . Тогда расчет по ур. (76) дает значение  $pK_a^a \approx 5.0$ , что несколько ближе к результатам прямого эксперимента.

Очень часто при исследовании зависимостей  $pK_a^a$  от концентрации ПАВ наблюдается экстремум [384,385,398,400,405,667, 670]. Например, минимум наблюдался в случае диссоциации сульфофтальенинов ( $HR^- \rightleftharpoons R^{2-} + H^+$ ) в растворах катионных ПАВ [385,398,667], а максимум — в случае диссоциации катионов нейтрального красного [670], ароматических аминов и бензимидазолов [405] в растворах ДСН.

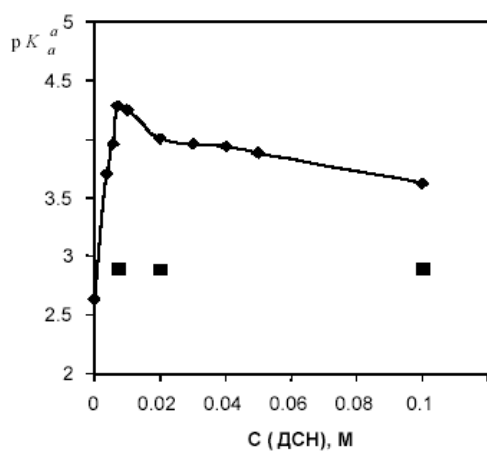


Рис. 28. Зависимость  $pK_a^a$  хинальдинового красного ( $HR^{2+} \rightleftharpoons R^+ + H^+$ ) от концентрации ДСН при низкой ионной силе буферной смеси (верхняя кривая) и при концентрации NaCl 0.2 М (нижние точки).

Экстремальный характер зависимости находит объяснение в рамках модели ПИО [382,384,387,400]. Причины такого характера зависимости становятся понятными, если учесть, что при повышении концентрации фонового электролита экстремум не наблюдается [378]. В самом деле, при низкой ионной силе обь-

емной фазы рост концентрации ПАВ на первых порах приводит к увеличению степени связывания ионов индикаторного красителя. Но параллельно, вследствие диссоциации ПАВ в мицеллах [последнее слагаемое в ур. (64)], происходит и увеличение концентрации противоиона в объемной фазе. Такая «отрицательная адсорбция» [372] ведет, в свою очередь, к дополнительному экранированию поверхностного заряда мицелл и несколько повышает значения  $pK_a^a$  в случае катионных ПАВ (соответственно, понижает – в случае анионных ПАВ). Стабилизация ионной силы объемной фазы исключает этот эффект, хотя абсолютные значения  $pK_a^a$  изменяются.

Рисунок 28 иллюстрирует описанный эффект на примере диссоциации хинальдинового красного ( $\text{HR}^{2+} \rightleftharpoons \text{R}^+ + \text{H}^+$ ) в растворах ДСН: экстремум наблюдается лишь при низкой ионной силе раствора, создаваемой добавками  $\text{HCl}$ , необходимыми для поддержания  $\text{pH}$  в области 3-4. В присутствии 0.2 М  $\text{NaCl}$  значения  $pK_a^a$  в условиях полного связывания обеих форм стабильны. Эти данные получены автором совместно с А.С. Шумахер.

Рассматривая сдвиг кислотного равновесия сульфофталеинов в присутствии катионных ПАВ в терминах образования ионных ассоциатов [149, 380, 385, 398, 556, 667, 674], некоторые авторы солевые эффекты объясняют разрушением этих ассоциатов, например, «отвлекающим эффектом солей» [675],<sup>6)</sup> сводящимся к ассоциации катиона ПАВ с анионом соли, или даже конкуренцией за анион красителя между ионом  $\text{Na}^+$  и катионом ПАВ [380].

К сожалению, при малых концентрациях ПАВ в подобных системах образуются малорастворимые осадки и смешанные мицеллы «краситель + ПАВ» (рассмотренные в §32), что затрудняет количественное исследование с применением ур. (76), (77). Этим, в частности, может быть объяснен тот факт, что константа связывания дианиона  $\text{R}^{2-}$  бромфенолового синего мицеллами ЦТАБ, рассчитанная по таким уравнениям, некоторыми авторами [670] найдена практически не изменяющейся при варьировании концентрации фонового электролита ( $\text{NaCl}$ ) от 0.01 до 1.0 М, что представляется мало правдоподобным.

Интересно, что значения  $pK_a^a$  многих индикаторов, как содержащих длинные углеводородные радикалы, так и «обычных»

(например, хинальдинового красного) в растворах додецилбензосульфоната натрия (температура Крафта:  $\approx 325$  K) в целом вполне «мицеллярные» даже при комнатной температуре. Вероятно, индикаторные красители в ряде случаев могут «индуцировать» образование вокруг себя микроокружения, вполне идентичного мицеллярному, даже ниже температуры Крафта, что можно рассматривать как образование смешанных мицелл «краситель + ПАВ», приближающихся по составу к гомомицеллам ПАВ.

В случае, когда поверхность мицелл и участвующие в протолитическом равновесии ионы заряжены одноименно, связывание наблюдается лишь для наиболее гидрофобных соединений. Это удобно проиллюстрировать на примере сульфофталеинов ( $\text{HR}^- \rightleftharpoons \text{R}^{2-} + \text{H}^+$ ) [673]. Например, значение  $\text{p}K_a^a$  незамещенного фенолового красного остается практически неизменным вплоть до 0.08 M ДСН и соответствует  $\approx \text{p}K_a^{w*}$ , в то время как для бромтилового синего уже при 0.06 M ДСН  $\text{p}K_a^a = 9.21$  [673], что почти на 2 единицы выше, чем  $\text{p}K_a^{w*}$ .

Как показывает сравнительный анализ литературы [281, 372, 408, 468, 662, 670], для связывания анионов мицеллами анионного ПАВ очень важно, в какой мере экранирован поверхностный заряд коллоидных частиц, а это, в свою очередь, сильно зависит от значения ионной силы раствора.

Применимость концепции констант связывания ионов одноименно заряженными мицеллярными поверхностями для описания кислотно-основных свойств красителя была проверена нами на примере бромтилового синего в растворах ДСН при  $I = 0.2$  M (NaCl) [468]. Из зависимостей  $\text{p}K_a^a$  от  $c_{\text{ПАВ}}$  при помощи ур. (77) были оценены значения  $K_b$  и  $P_i$  анионов  $\text{HR}^-$  и  $\text{R}^{2-}$ . Оказалось, что значения полученных констант, особенно – в случае диамиона, сильно зависят от выбранной для расчетов области концентраций ПАВ. В диапазоне  $0.002 < c_{\text{ПАВ}} < 0.1$  M расчет дает  $K_{b,\text{HR}^-} = (1.0 \pm 0.1) \times 10^4 \text{ M}^{-1}$ , но  $K_{b,\text{R}^{2-}}$  является статистическим нулем [468]. В области  $c_{\text{ПАВ}}$ , соответствующей перестройке мицелл ДСН при данной ионной силе, значение  $K_b$  иона  $\text{R}^{2-}$  заметно возрастает и поддается определению:  $K_{b,\text{HR}^-} =$

$(1.3 \pm 0.1) \times 10^4 \text{ M}^{-1}$ ;  $K_{b,\text{R}^{2-}} = 16 \pm 4 \text{ M}^{-1}$ . Эти значения позволили при помощи ур. (78) рассчитать  $\text{p}K_a^{ac}$ :  $9.90 \pm 0.06$ . Найденные значения  $K_b$  могут быть пересчитаны к другим значениям  $[\text{Na}_w^+]$  при помощи ур.(44), если условно допустить, что варьирование ионной силы влияет лишь на значение  $\Psi$ , не вызывает перестроек мицелл и не влияет на значения  $\gamma_i$ . Было также показано, что добавки неионного ПАВ бридж 35 несколько уменьшают значение  $K_{b,\text{HR}^-}$ , а добавки пентанола-1 еще и заметно увеличивают значение  $K_{b,\text{R}^{2-}}$ , что приводит к снижению  $\text{p}K_a^{ac}$  примерно на единицу [468].

Насколько можно судить по литературным данным [372, 408, 670], характер изменения значений  $K_{b,\text{HR}^-}$  в ряду сульфофталеинов в целом согласуется с гидрофобностью последних, коррелируя, в частности, с ван-дер-ваальсовым объемом заместителей или с площадью поверхности полости, занимаемой ионами  $\text{HR}^-$  в воде (см. также табл. 10).

Влияние ионной силы (от 0.01 до 1.0 М NaCl) на степень связывания анионов  $\text{HR}^-$  бромфенолового синего мицеллами ДСН хорошо проиллюстрирована в литературе на основании зависимостей  $\text{p}K_a^a$  от концентрации ПАВ [670], причем при концентрации NaCl 1.0 М наблюдается ощутимое связывание даже ионов  $\text{R}^{2-}$ . Эти результаты качественно согласуются с данными псевдофазной жидкостной хроматографии [662]. Однако во всех этих работах не учитывается выявленная нами [468] зависимость вычисленных значений  $K_b$  от использованного диапазона концентраций ДСН.<sup>7)</sup>

Разумеется, модель, сводящаяся к ур.(76) и (77), в целом довольно упрощенная. В самом деле, с ростом концентрации ДСН может проявляться непостоянство степени диссоциации мицелл,  $\alpha$ , что может повлиять на значение  $\Psi$ , и, в свою очередь, на значение  $K_b$ .

Анионы наиболее гидрофильного из сульфофталеинов, фенолового красного, в некоторых случаях (упомянутых в конце главы 7) не полностью связываются даже противоположно заряженной поверхностью мицелл катионных ПАВ (кривая 3 на рис.

27). Обработка данных, полученных при концентрации ЦТАБ от  $5 \times 10^{-4}$  М до  $6.9 \times 10^{-3}$  М и концентрации КBr 0.4 М (значение  $pK_a^{w*}$  при этой ионной силе равно 7.74), при помощи ур. (77),(78) привела к значениям  $K_{b,HR^-} = 2.5 \times 10^3$  М<sup>-1</sup>;  $K_{b,R^{2-}} = 2.6 \times 10^2$  М<sup>-1</sup>,  $pK_a^{ac} = 8.72$  [453].

Таким образом, при концентрации ЦТАБ 0.001 М только 26% ионов R<sup>2-</sup> связаны мицеллами. Безусловно, такое слабое связывание вызвано значительным экранированием поверхностного заряда мицелл за счет высокой концентрации фонового электролита.

Между тем, К. Драммонд, Ф. Гризер и Т. Хили [392] полагают, что в растворах додецилтриметиламмоний бромида анионы фенолового красного полностью связаны мицеллами даже при концентрации бромида натрия, равной 4 М.

Т а б л и ц а 21  
Значения констант распределения красителей между водой и везикулами фосфолипидов (шкала мольных долей)

Индикатор	заряд	буферная система	$I, M$	$P_x$
Нейтральный красный	+1 0	фосфатн.	0.005	$5.3 \times 10^5$ $1.2 \times 10^5$
Акридиновый оранжевый	+1 0	карбонатн.	0.05	$4.6 \times 10^4$ $3.8 \times 10^5$
Бромтимоловый синий	-1	фосфатн.	0.005	$2.2 \times 10^6$
	-1	трис-HCl	0.005	$2.8 \times 10^6$
	-1	фосфатн.	2.0	$1.3 \times 10^7$
	-1	трис-HCl	2.0	$1.3 \times 10^7$
	-2	фосфатн.	2.0	$4.7 \times 10^4$
	-2	трис-HCl	2.0	$2.7 \times 10^5$
Эритрозин	-2	фосфатн.	0.005	$5.4 \times 10^4$
Эозин	-2	фосфатн.	0.005	$5.1 \times 10^4$
Метиловый желтый	+1 0	фосфатн.	0.005	$8.3 \times 10^3$ $7.8 \times 10^5$
Гексаметокси красный	+1 0	фосфатн.	0.005	$1.3 \times 10^4$ $1.8 \times 10^5$
Тимолфталеин	0	фосфатн.	0.05	$4 \times 10^8$

Вероятно, особенности морфологии кривой З на рис. 27 обусловлены отчасти и хорошо известными перестройками мицелл ЦТАБ под действием высокой концентрации ионов  $\text{Br}^-$ .

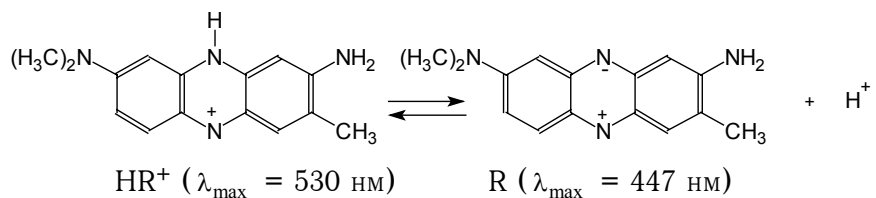
Значения констант связывания сопряженных кислотно-основных форм индикаторных красителей различного типа липосомами (табл. 21) также были оценены нами из зависимостей  $pK_a^a$  от концентрации фосфолипидов [462].<sup>8)</sup>

В заключение отметим, что в литературе имеются и данные о влиянии добавок коллоидных ПАВ на протолитические равновесия красителей в возбужденном состоянии [404, 405, 676, 677].<sup>9)</sup>

### § 36. Химические последствия избирательного связывания

Можно попытаться выделить некоторые наиболее типичные примеры последствий, которые влечет за собой избирательное связывание участников кислотно-основного равновесия псевдофазой.

1) Не только в мицеллярных средах, но даже в области до-мицеллярных концентраций ПАВ (до значений ККМ гомомицелл) может иметь место сдвиг положения кислотно-основного равновесия индикаторов [674, 675, 678-680]. При  $c_{\text{ПАВ}} < \text{ККМ}$  эффекты вызываются образованием ионных ассоциатов и смешанных мицелл «краситель + ПАВ». Это создает предпосылки для простого и удобного аналитического определения ПАВ. Использование для этих целей эозина [633] уже упоминалось выше. Нами также разработан безэкстракционный спектрофотометрический способ количественного определения алкилбензольсульфонатов, основанный на сдвиге положения кислотно-основного равновесия индикатора нейтрального красного при pH 7.3-7.4 [681]:

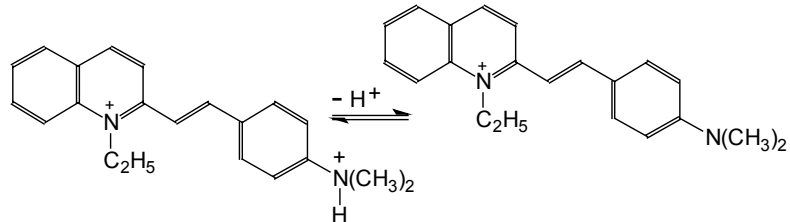


Сдвиг положения равновесия влево связан с образованием ассоциатов – в простейшем случае:  $n\text{-C}_{12}\text{H}_{25}\text{-C}_6\text{H}_4\text{-SO}_3^- + \text{HR}$ ; предел обнаружения анионного ПАВ:  $1.4 \times 10^{-5} \text{ M}$ , стабилизация

достигается добавлением полиэтиленгликоля ПЭГ-1500. Как известно [392,403,670], мицеллы ДСН смещают положение равновесия в том же направлении.

2) Тенденция к преимущественному связыванию моноаниона  $\text{HR}^-$  бромтимолового синего по сравнению с дианионом  $\text{R}^{2-}$ -анионными поверхностями усиливается при переходе к некоторым липосомам, в частности, к смешанным липосомам дистеарилфосфатидилхолина и кардиолипида [462]. В результате в подобных системах вполне возможна ситуация, когда экспериментально фиксируется монотонный рост значения  $\text{p}K_a^a$  с ростом концентрации дисперсной фазы. Это может затруднить интерпретацию данных о липосомах и биомембранах, получаемых с этим широко используемым индикатором.

3) Сильный сдвиг положения протолитического равновесия по сравнению с водным раствором может происходить не только в растворах ПАВ, но и в другой разновидности организованных растворов – в растворах полостных молекул. Исследование диссоциации дикатиона хинальдинового красного в растворах, проведенное совместно с Н. А. Водолазкой и О. Н. Тычиной, показало, что молекулы  $\beta$ -циклодекстрин (β-ЦД) смещают положение равновесия вправо:



Из зависимости значения  $\text{p}K_a^a$  от концентрации циклодекстрина оказалось возможным оценить константы ассоциации катионов красителя с молекулами-рецепторами аналогично тому, как это делалось выше для констант  $K_b$ . При этом константа ассоциации катиона  $\text{R}^+$  с молекулой  $\beta$ -ЦД найдена равной  $(3.5 \pm 1.5)10^2 \text{ M}^{-1}$ , в то время как в случае катиона  $\text{HR}^{2+}$  такая константа практически равна нулю; несколько иным является действие  $\gamma$ -ЦД [185]. Вероятно, слабое связывание дикатиона вызвано его сильной гидратацией.

Вообще, спектральные эффекты, сопровождающие связывание индикаторов и красителей циклодекстринами, обусловлены скорее сдвигами положений кислотно-основных, таутомерных и агрегационных равновесий, а не сольватохромными эффектами. В пользу такого утверждения говорят многие данные [264, 312, 523, 682]. Поэтому исследование зависимостей  $pK_a^a$  индикаторов от концентрации циклодекстринов может служить источником информации о константах ассоциации (связывания), наряду с другими используемыми для этой цели методами [683].

4) Самый кардинальный способ изменения соотношения констант ступенчатой диссоциации одного и того же соединения (смотри §8, §11) – избирательное связывание одной из трех сопряженных форм. На рисунке 29 представлена зависимость поглощения света тимолфталеином ( $H_2R \rightleftharpoons HR^- \rightleftharpoons R^{2-}$ ) при 595 нм от pH в водном растворе как в отсутствие, так и в присутствии липосом фосфолипидов.

Анализ этих данных, полученных автором совместно с Г. П. Горбенко и Т. А. Черной, показал, что раздельно оценить значения  $pK_{a1}^a$  и  $pK_{a2}^a$  невозможно;  $pK_{a1}^a + pK_{a2}^a = 23.2 \pm 0.2$ . Интервал pH перехода окраски в присутствии липосом становится рекордно узким: 0.5 единицы!

Вместе с тем, данные диализа показывают, что форма  $R^{2-}$  и, вероятно,  $HR^-$ , практически не связаны псевдофазой. В то же время, в водном растворе (без спирта, при  $I = 0.05$  М):  $pK_{a1}^{w*} = 9.8$ ;  $pK_{a2}^{w*} = 9.6$ . Принимая поэтому значение  $pK_{a2}^a$  примерно таким, как в воде ( $\approx 10$ ), получаем:  $pK_{a1}^a \approx 13$ . Такая «суперинверсия» должна приводить к практически полному исчезновениюmonoанионной формы  $HR^-$ , что разъясняет невозможность раздельной оценки  $pK_{a1}^a$  и  $pK_{a2}^a$ . Нейтральная же форма связывается липосомами очень сильно ( $K_{b,H_2R} \approx 8 \times 10^6$  М $^{-1}$ ), что и является причиной резкого роста  $pK_{a1}^a$  по сравнению с  $pK_{a1}^{w*}$ .

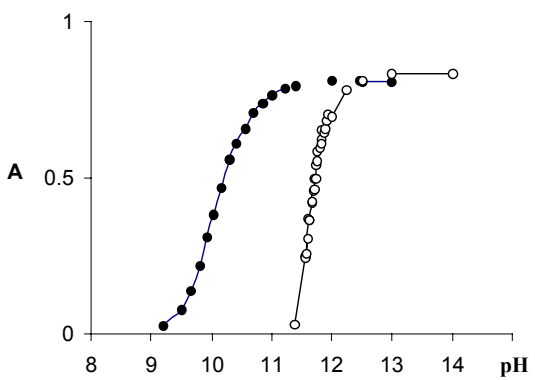


Рис.29. Зависимость поглощения растворов тимолфталеина от pH:  
● – в водном растворе ( $I = 0.2$  М, 8 %  $C_2H_5OH$ ); ○ – в суспензии фосфолипидов (0.9 mM,  $I = 0.05$  М).

Опыты, проведенные Н. А. Водолазкой и Ю. В. Исаенко, показали, что в мицеллярных растворах ДСН раздельное определение  $pK_{a1}^a$  и  $pK_{a2}^a$  тоже невозможно. Лишь в присутствии мицелл ЦТАБ и нонилфенола 12 удается определить обе константы, причем соотношение значений становится традиционным:  $K_{a1}^a > K_{a2}^a$ .

Рассмотренное поведение тимолфталеина в присутствии липосом может служить моделью управления поведением субстратов в водной фазе с помощью клеточных границ.

Кроме того, подобные примеры показывают, что избирательное связывание в организованных растворах является моделью избирательной сольватации в растворах истинных (например, в водно-органических смесях).

## ПРИМЕЧАНИЯ К ГЛАВЕ 9

<sup>1)</sup> Другая недавняя работа А.К. Чибисова с соавторами [Michean J.C., Zakharova G.V., Chibisov A.K. Phys. Chem. Chem Phys. 2004. V. 6. P. 2420-2425] посвящена детальному исследованию "предмицеллярных" взаимодействий катионного красителя родамина 6Ж с додецилсульфатом натрия, в том числе с учетом кинетической стороны явления.

<sup>2)</sup> В то же время, зависимость интенсивности поглощения от pH, приведенная в цитируемой работе [637] для бенгальского розового Б, связанного мицеллами ЦПХ, никак не согласуется с нашими данными [169], неодно-

кратно воспроизведенными для ЦПХ [203,439] и согласующимися с данными для ЦТАБ [281,644].

<sup>3)</sup> В некоторых работах [368,652] в соответствующих формулах вместо  $P$  фигурирует разность ( $P - 1$ ); это, в частности, получается в том случае, когда при выводе формул сразу же приравнивают объем водной фазы общему объему раствора.

<sup>4)</sup> Корреляция между константами связывания органических соединений мицеллами ЦПХ и константами распределения в системе вода/октанол-1 рассмотрена в работе М. Абрахама с соавторами [Abraham M.N., Chadha H.S., Dixon J.P. Rafols C., Treiner C. J. Chem. Soc., Perkin Trans. 2. 1997. P. 19-24].

<sup>5)</sup> Имеется сообщение о взаимодействии трех новых родаминовых красителей с этирифицированной карбоксильной группой, оказавшихся ценными для фотомедицины, с неионным, анионным и катионным ПАВ [Pal P., Zeng H., Durocher G., Girard R., Giasson R., Blanchard L., Gaboury L., Villeneuve L. J. Photochem. Photobiol. A.: Chemistry. 1996. V. 98. P. 65-72]. При этом взаимодействие с ДСН при  $c_{\text{ПАВ}}$  ниже ККМ носит типичный для образования предмицеллярных агрегатов «краситель + ПАВ» характер (изменение спектров напоминает картину, представленную на рис. 25), а в области образования гомомицелл ДСН интенсивность поглощения и флуоресценции усиливается, и спектры указывают на существование мономерных катионов красителя, связанных мицеллами. С ЦТАБ взаимодействие незначительно, а в случае тритона X 100 в спектрах имеется изобестическая точка, причем модель образования комплекса красителя с мицеллой удовлетворительно описывает эксперимент; значения констант связывания красителей коррелируют с гидрофобностью последних.

<sup>6)</sup> Термин заимствован из монографии Дж. Гордона [23].

<sup>7)</sup> В работах Р. Датта с сотрудниками предполагается, что анионными мицеллами и каплями микроэмulsionей связываются лишь однозарядные формы сульфофталеинов,  $\text{HR}^-$ , но не дианионы  $\text{R}^{2-}$ . Тогда анализ экспериментальных данных в духе изложенного ранее подхода [408] позволяет рассчитывать константы распределения красителей совместно со значениями ККМ ПАВ [Saikia P.M., Kalita A., Gohain B., Sarma S., Dutta R.K. Colloids Surfaces. A. Physicochem. Eng. Aspects. 2003. V. 216. P. 21-26], а также исследовать строение микрокапель дисперсной фазы в прямых микроэмulsionях бензол-ДСН-бутанол [Sarma S., Gohain B., Dutta R.K. J. Chem. Res. (S). 2003. No. 7. P. 408-409].

<sup>8)</sup> Недавно появилась публикация, важная для углубленного понимания проблемы исследования распределения соединений в системах, моделирующих биомембранны, главным образом на основании спектроскопиче-

ских данных [Santos N.C., Prieto M., Castanho A.R.B. Biochim. Biophys. Acta. 2003. V. 1612. P. 123-135].

<sup>9)</sup> Перечень работ, посвященных взаимодействию ионных красителей и им подобных крупных органических ионов с ПАВ, легко может быть увеличен. Так, исследовано взаимодействие сафранина Т с неионными ПАВ [Ghosh S.K., Khatua P.K., Bhattacharya S.C. J. Coll. Int. Sci. 2004. V. 275. P. 623-631], гемицианинов с катионными ПАВ [Shah S.S., Khan M.S., Ul-lah H., Awan M.A. J. Coll. Int. Sci. 1997. V. 186. P. 382-386; Awan M.A., Shah S.S. Coll. Surf. A. 1997. V. 122. P. 97-101], *N*-алкил-стириловых красителей с различной длиной радикала с Тритоном X 100 [Mishra A., Behera P.K., Behera R.K., Mishra B.K., Behera G.B. J. Photochem. Photobiol. A.: Chemistry. 1998. V. 116. P. 79-84] и с ЦТАБ [Mishra A., Patel S., Behera R.K., Mishra B.K., Behera G.B. Bull. Chem. Soc. Jpn. 1997. V. 70. No. 12. P. 2913-2918]. В последнем случае, несмотря на одинаковый заряд ионов красителей и ПАВ, образование смешанных мицелл особенно явно проявляется в электронных спектрах поглощения. Показано также, что значения ККМ ПАВ, определенные спектрофотометрически, неплохо согласуются с кондуктометрическими данными, если для исследования систем ДСН + пропанол-1 и ЦТАБ + пропанол-1 в воде использовать в качестве индикаторов соответственно метилоранж и пинацианол хлорид [Benito I., Garcia M.A., Monge C., Saz J.M., Marina M.L. Coll. Surf. A. 1997. V. 125. P. 221-224]. Распределение папаверина между водной и мицеллярной фазами и характер локализации этого соединения в мицеллах ДСН исследовались методом ПМР [Yushmanov V.E., Imasato H., Perussi J.R., Tabak M. J. Magn. Res. Ser. B. 1995. V. 106. P. 236-244]. В дальнейшем эта исследовательская группа продолжала свои работы в том же направлении с другими объектами [Almeida I.E., Borissevita I.E., Yushmanov V.E., Tabak M. J. Coll. Int. Sci. 1998. V. 203. P. 456-463].